一臨床応用一

小児 ¹⁸F-FDG-PET/CT 検査における 投与放射能量と画質に関する検討

一JSNM コンセンサスガイドライン投与量適用のための臨床研究一

杉林 慶一

関西医科大学附属病院

木田 哲生

滋賀医科大学医学部附属病院

松本 恒

埼玉県立小児医療センター

日高 国幸

大阪大学医学部附属病院

椎名 勝也

東京慈恵会医科大学附属病院

藤原 高弘

大阪母子医療センター

Investigation of the Relation between Administrated Dose and Image Quality for Pediatric ¹⁸F-FDG-PET/CT Scan

—Clinical Study for Applying the JSNM (Japanese Society of Nuclear Medicine) Pediatric Dosage Card—

Keiichi Sugibayashi

Kansai Medical University Hospital

Tetsuo Kida

Shiga University of Medical Science Hospital

Makoto Matsumoto

Saitama Children's Medical Center

Kuniyuki HIDAKA

Osaka University Hospital

Katsuya Shiina

Jikei University Hospital

Takahiro Fujiwara

Osaka Women's and Children's Hospital

(article received : Feb 8, 2019)

Key words: 18F-FDG-PET/CT, Pediatric, Dosage card, Image quality, JSNM

1. 緒 言

18F- fluoro-2-deoxy-D-glucosepositron emission tomography/computed tomography (18F-FDG-PET/CT) 検査は、悪性新生物(がん)の診断にきわめて有用である^{1,2)}。小児にも行われており、特に小児悪性リンパ腫の病期診断および治療効果判定に有効であるとされている^{3,4)}。一方で核医学検査における小児への放射性医薬品の投与量は、1988年に出された「核医学イメージングのための小児への放射性医薬品投与量に関する勧告」で推奨された投与量を基準にして検査を行ってきた⁵⁾。この勧告では小児の投与量を年齢や体重、体表面積から算出した係数を成人の投与量に乗じて求めていた。2013年に出された「小児核医学検査適正施行

のコンセンサスガイドライン(以下,ガイドライン)」では成人投与量に基づいて設定した基本量と体重別係数から投与量を直接計算することになっており,すべての体重域で実効線量が一定となるような工夫がなされている⁶⁾。日本核医学技術学会では,ガイドラインが公開された直後に,ガイドライン投与量で診断可能な画像を得ることができるかを検証するために小児核医学撮像技術研究委員会(以下,小児撮像研究会)が組織された。本研究は,小児撮像研究会で行われた検討の一部であり,研究の目的は,過去に行われた小児 ¹⁸F-FDG-PET/CT 検査において投与放射能量と画質の関係を明らかにし,ガイドライン投与量での適正撮像時間を推定することである。

2. 方 法

2-1. PET/CT 装置

本研究で使用した PET/CT 装置は、GE Healthcare 社製 Discovery ST で16列のマルチディテクタ CT を搭載し、検出器クリスタルは Bi4 Ge₃O₁₂ が使用されている。有効視野は直径 700 mm、奥行き方向が 157 mm、エネルギーウインドウは 425~650 keV、同時計数ウィンドウは 9.3 ns である。空間分解能は、視野中心から 1 cm における横断面分解能が full width at half maximum (FWHM) 6.5 mm、体軸方向分解能 5.9 mm、視野中心から 10 cm の位置における横断面分解能 6.9 mm、体軸方向分解能 6.6 mm、雑音等価計数 (noise equivalent count rate: NECR) は 12 kBq/ml において 60 kcps である⁷⁾。PET 画像の解析は、Xeleris Workstation Version 1.1452(GE Healthcare 社製)を使用した。

2-2. 被検者および検査プロトコール

本研究の対象は、関西医科大学附属病院において2006~2015年の期間に 18 F-FDG-PET/CT 検査を行った 0 歳以上15歳以下の277例である。いずれも、肝臓に異常集積が認められない症例を評価対象とした。体重は平均値 28.3 ± 15.8 kg、最小値 2.8 kg、最大値 75.5 kg であった。なお、本研究は関西医科大学附属病院の倫理委員会の承認を

得て行われた(受付番号:第 H130171 号)。

被検者は、5時間以上の絶食の後、放射性医薬品メーカから供給されたFDGを静脈から投与し、投与後60分間の安静待機の後 PET/CT 検査が実施された。検査は、仰臥位、両腕下垂にて頭頂から大腿中央部までを撮像範囲とし、3D 収集、 $128 \times 128 \text{ マ}$ トリクス、FOV は 500 mm、オーバーラップ 23 slice (体軸方向視野 47 slice)、撮像時間は 1 ベッドあたり 1 ~6 分、投与放射能量は平均値 162.7 ± 71.5 MBq、最小値 25 MBq、最大値 340 MBq であった。FDG 投与は、ユニバーサル技研製 UG-01 を使用し、2013年以前は体重 1 kg あたり 2 ~5 MBq に近い投与量になるまで減衰を待って投与(172例)、ガイドライン発表後の2013年 3 月以降はガイドライン投与量の+10 %までの範囲になるよう分注して投与した(105例)。

PET 画像は、CT 減弱補正および散乱線補正を行い、画像再構成法は逐次近似再構成(FORE-iterative)を使用した。画像再構成条件は、サブセット16、イタレーション5とし、後処理フィルタは gaussian filter(FWHM: 4.29 mm)、Z-Axisフィルタは gaussian filter(FWHM: 3.91 mm)を使用した。

2-3. 診断可能な画質の評価

頭頂から大腿中央部まで撮像した後に腹部の撮像を行った症例で,ガイドライン投与量に近い投

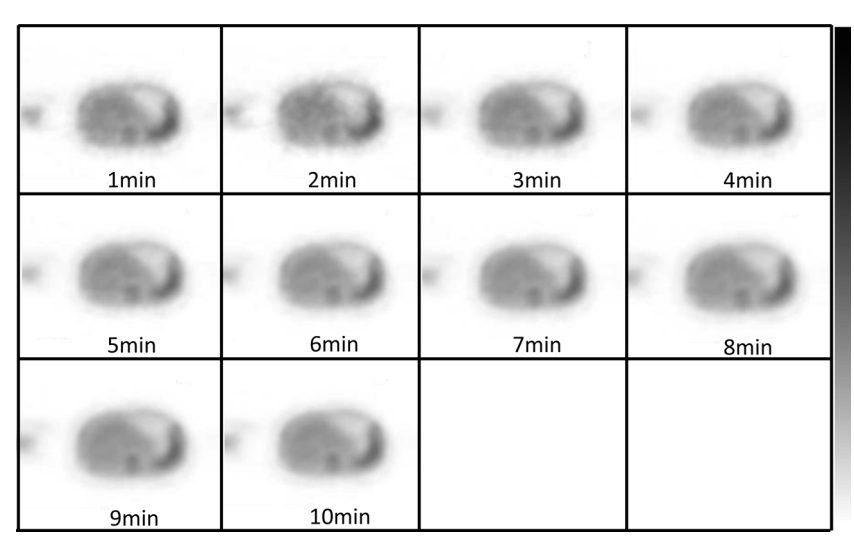


Fig. 1 診断可能な画質を評価するための撮像時間 1 分から10分までの画像(体重 6 kg, 投与量 26.3 MBq)。

与量(±10%以内)でPET検査を実施し、体重 の重複しない11例を抽出した。撮像プロトコール は、1ベッドの撮像で1フレーム1分間のダイナ ミック撮像を10分間行った。得られた画像を順次 加算して収集時間1分から10分までの10枚の画像 を作成した (Fig. 1)。視覚評価は、核医学診断 を行っている9名の放射線科医によって行われ た。評価は、肝臓が描出された冠状断面像におけ る収集時間1分から10分までの画像に対して2段 階評価(1:診断不可能,2:診断可能)を行っ た。評価基準は、肝臓の輪郭が認識でき、肝臓内 部にアーチファクト等の雑音が認められないと判 断した場合を診断可能とした。9名の評価点数の 合計が最も高かった画像を診断可能限界画像とし た。診断可能限界画像の肝臓部が最も大きく描出 されているスライスとその前後1スライスの肝臓 部に円形の関心領域 (region of interest: ROI) を 設定した (Fig. 2)。 3 断面の ROI 内情報から 1 pixel あたりのカウント (mean value) と標準偏差

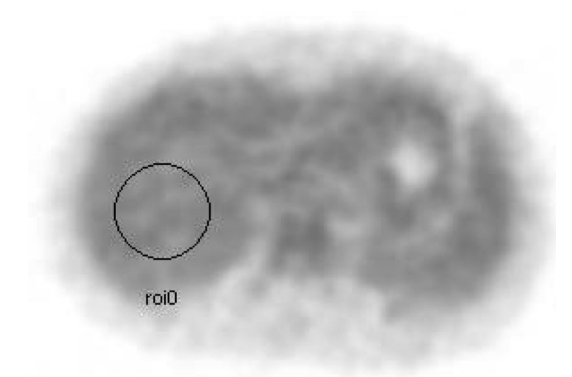


Fig. 2 CV 算出のための ROI 設定方法

(SD) の平均値を算出し、変動係数 (coefficient of variation: CV) を求めた。CV の式を次に示す。

 $CV = SD \times 100$ /mean value (%)

2-4. 臨床画像の画質の評価

評価対象の277例を 10 kg 以下、10.1 kg 以上 20 kg 以下, 20.1 kg 以上 30 kg 以下, 30.1 kg 以上 40 kg 以下, 40.1 kg 以上 50 kg 以下, 50.1 kg 以 上の6群の体重別に分類した。対象症例の PET 画像について、前項の ROI 設定方法と同様の手 法を用いて ROI を設定し、CV を算出した。体 重群ごとに、縦軸に CV、横軸に投与量 (MBa) と撮像時間 (min) の積(投与量×撮像時間)を プロットしたグラフを作成した。投与量×撮像時 間と CV の散布図に対して回帰直線を設定し. 各体重群に対応する診断可能限界画像の CV と 回帰直線が交わる点の投与量×撮像時間を求め た。得られた投与量×撮像時間をガイドライン投 与量で除算することにより、ガイドライン投与量 で PET 検査を行う場合に必要な撮像時間を算出 した。

3. 結 果

3-1. 診断可能な画質の評価

各体重群における診断可能限界画像と CV の 関係を Table 1 に示す。

10 kg 以下の体重群に分類される症例 1 と 2 で は撮像時間2分の画像が診断可能限界画像と判定 され、平均 CV は5.76%であった。10.1 kg 以上 20 kg 以下の体重群である症例 3 と 4 では、診断 可能限界画像がともに 4 分であり平均 CV は 6.11%であった。20.1 kg 以上 30 kg 以下の体重

症例	体重 (kg)	投与量(MBq)	診断可能限界画像	撮像時間(n	nin) CV (%)	平均 CV (%)	
1	2.8	14.3	2		5.65	5.76	
2	6	26.0	2		5.88	3.70	
3	10	41.5	4		6.08	6.11	
4	15	56.0	4		6.14	0.11	
5	22.2	80.0	6		5,98	6.36	
6	24.6	89.4	7		6.74	6.74	
7	34	118.8	7		6.27	6.47	
8	39	132.4	7	7 6.66		0.47	
9	43.8	146.2	8		7.85	7.98	
10	45.3	158.6	8		8.11	7.30	
11	59	204.8	8		7.98	7.98	

Table 1 各体重群における診断可能限界画像と CV の関係

小児 ¹⁸F-FDG-PET/CT 検査における投与放射能量と画質に関する検討(杉林、他)

群の症例 $5 \, \& \, \& \, b$ では、診断可能限界画像が $6 \, \& \, b$ 7 分であり平均 CV は6.36%であった。 $30.1 \, \& \, b$ 以上 $40 \, \& \, b$ 以下の体重群の症例 $7 \, \& \, b$ では、診断可能限界画像が $2 \, \& \, b$ ともに $2 \, \& \, b$ 分であり平均 CV は 6.47%であった。 $40.1 \, \& \, b$ 以上 $50 \, \& \, b$ 以下の体重群の症例 $2 \, \& \, b$ 以下の体重群の症例 $2 \, \& \, b$ と10では、診断可能限界画像が $8 \, \& \, b$ であり平均 CV は7.98%であった。 $50.1 \, \& \, b$ 以上の体重群の症例11は、診断可能限界画像が $8 \, \& \, b$ で $8 \, \& \, b$ CV は $8 \, \& \, b$ であった。

3-2. 臨床画像の画質の評価

10 kg 以下の体重群 (37 M) において,投与量 \times 撮像時間と CV との間には弱い相関が認められた (y=-0.0052x+6.55, r=0.38)。回帰式から,ガイドラインにおける最小投与量である 14.0 MBq を投与して診断可能限界画像である CV=5.76%の画質を得るためには,1 ベッドにつき10.8分必要であり,体重 10 kg に相当するガイドライン投与量 38.0 MBq を投与して診断可能 限界画像の画質を得るためには 4 分の撮像時間が必要であった (**Fig. 3**)。10.1 kg 以上 20 kg 以下

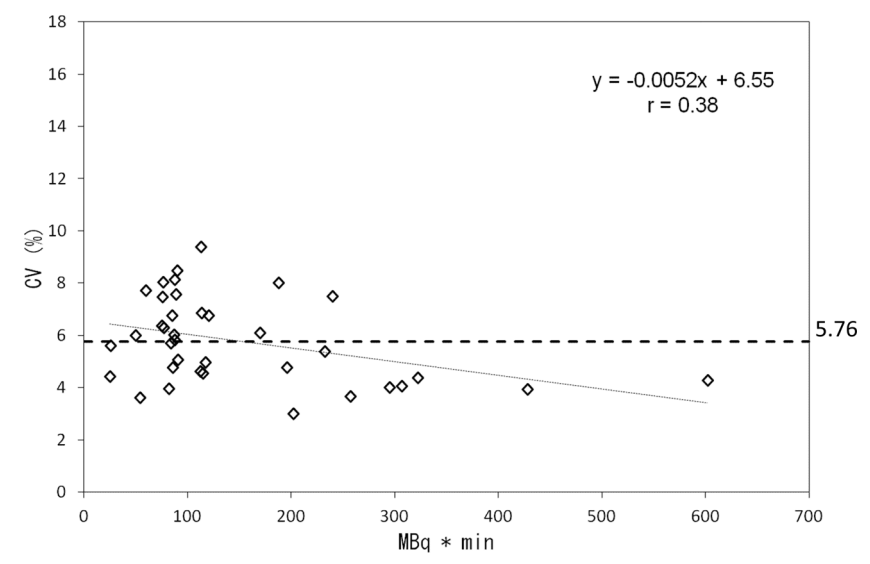


Fig. 3 10kg 以下の体重群における CV と投与量×撮像時間の関係

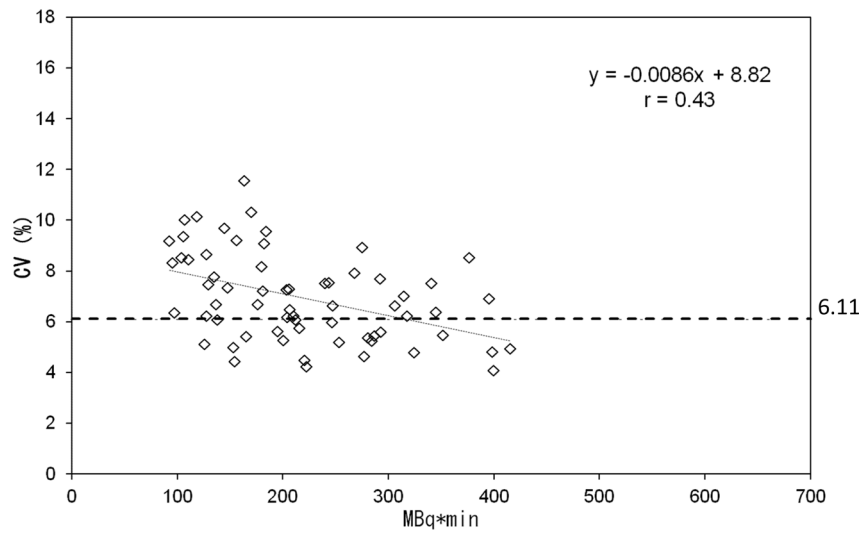


Fig. 4 10.1~20 kg の体重群における CV と投与量×撮像時間の関係

の体重群(64例)では、投与量×撮像時間と CV との間に相関が認められた(y=-0.0086x+8.82, r=0.43)。回帰式から、体重 20 kg に対するガイドライン投与量 68.0 MBq を投与して診断可能限界画像である CV=6.11%の画質を得るためには、1 ベッドにつき4.6分必要であった(**Fig. 4**)。20.1 kg 以上 30 kg 以下の体重群(64例)では、投与量×撮像時間と CV との間に相関が認められた(y=-0.0099x+10.39,r=

0.42)。回帰式から,体重 30 kg に対するガイドライン投与量 96.04 MBq を投与して診断可能限界画像である CV=6.36% の画質を得るためには,1 ベッドにつき 4.2 分必要 であった (**Fig.** 5)。30.1 kg 以上 40 kg 以下の体重群 (46例)では,投与量×撮像時間と CV との間には弱い相関が認められた(y=-0.0068x+10.67,r=0.22)。回帰式から,体重 40 kg に対するガイドライン投与量 124.04 MBq を投与して診断可能限

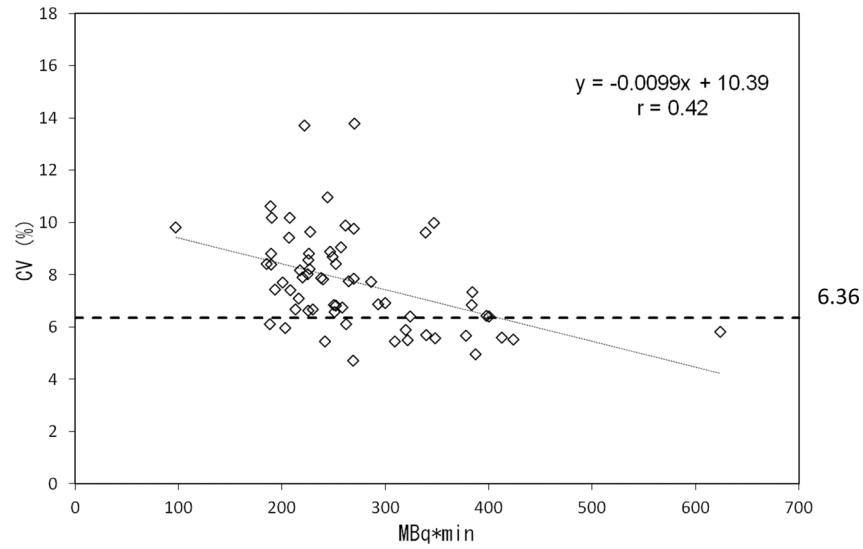


Fig. 5 20.1~30 kg の体重群における CV と投与量×撮像時間の関係

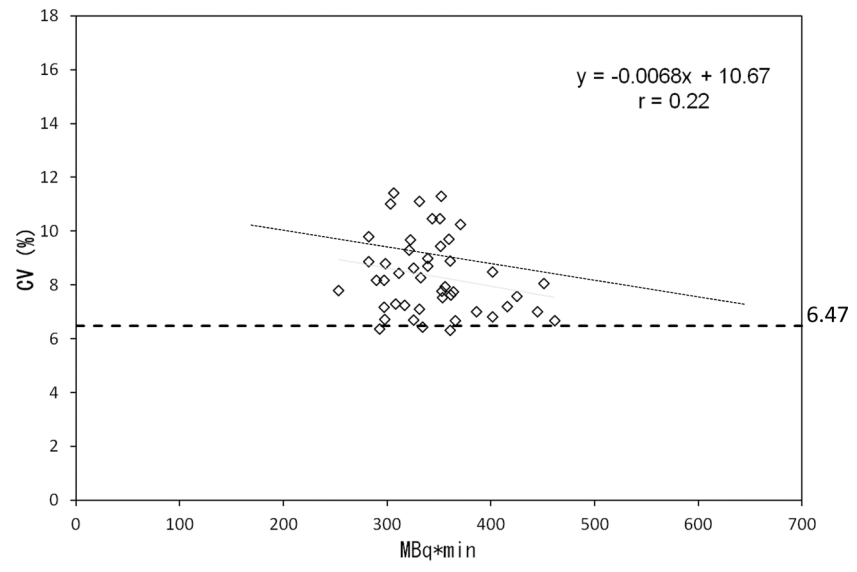


Fig. 6 30.1~40 kg の体重群における CV と投与量×撮像時間の関係

小児 ¹⁸F-FDG-PET/CT 検査における投与放射能量と画質に関する検討(杉林,他)

界画像である CV=6.47%の画質を得るためには、1ベッドにつき 5 分必要であった(Fig.6)。 $40.1 \, kg$ 以上 $50 \, kg$ 以下の体重群(40例)では、投与量×撮像時間と CV との間に相関が認められた(y=-0.019x+16.99, r=0.47)。回帰式から、体重 $50 \, kg$ に対するガイドライン投与量 $149.94 \, MBq$ を投与して診断可能限界画像である CV=7.98%の画質を得るためには、1ベッドにつき 3.2 分必要であった(Fig.7)。 $50.1 \, kg$ 以上

の体重群(25例)については、相関関係が認められなかった(r=0.16)ため診断可能限界画像を得るための撮像時間の推定は行わなかった。

4. 考 察

¹⁸F-FDG-PET/CT 検査は定量性が高いと評価されている一方で、その定量値は施設あるいは装置ごとに異なるとも指摘されている⁸⁾。また、その原因の大部分は画像再構成法に依存するとの報

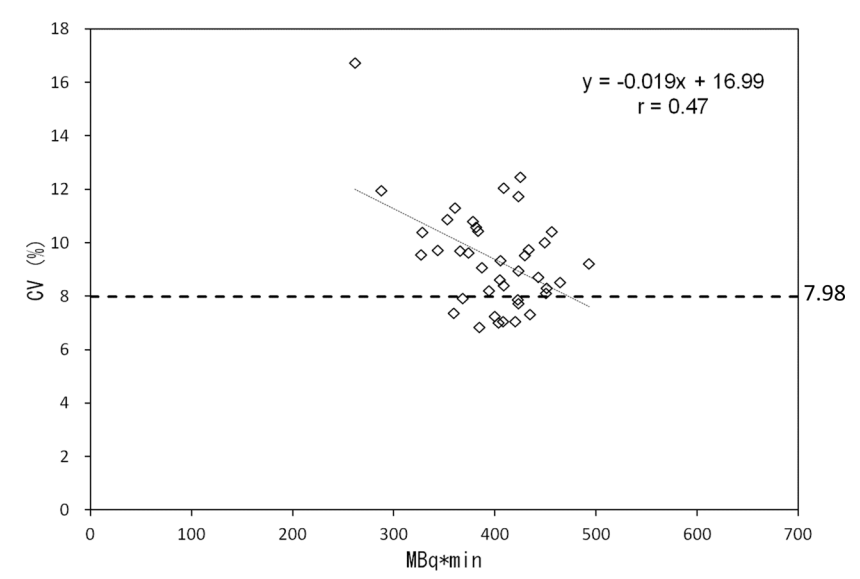
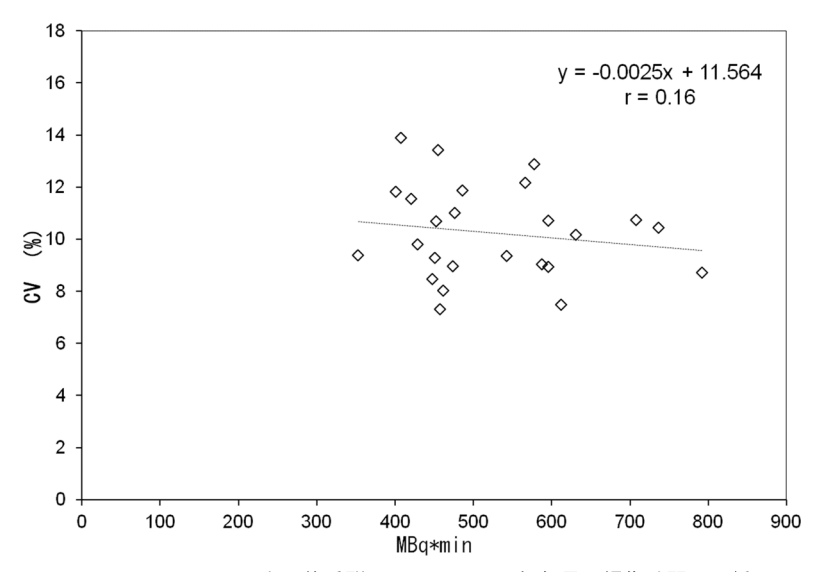


Fig. 7 40.1~50 kg の体重群における CV と投与量×撮像時間の関係



 ${f Fig.~8}$ ${f 50.1~kg}$ 以上の体重群における ${f CV}$ と投与量×撮像時間の関係

告もある⁹⁾。したがって、小児研究委員会に参加 している複数の施設の PET 画像をまとめて評価 することは困難であると判断し、著者の施設で過 去に実施した277例のみでの評価となった。PET 画像の画質を評価する場合、評価指標として雑音 等価計数 (noise equivalent count: NEC) が多く用 いられている¹⁰⁾。しかしながら、当院の PET 装 置(Discovery ST)ではリストモード収集で撮像 を行うことができないため、任意の撮像時間での NEC が得られず、診断可能限界画像の評価に NEC を用いることができなかった。小児撮像研 究会では、小児腎静態シンチグラフィーの画質評 価に CV を用いた検討を行った12)。本報告であ る PET 画像の評価にもその手法を利用した。本 研究の結果. 診断可能限界画像の画質を得るため には最小投与量の 14 MBq では1ベッド当たり 10.8分の撮像時間が必要であり、体重 10~40 kg の体重域では4~5分の撮像時間であった。これ は最小投与量の設定が過小であることを示唆して いる。また、体重 50 kg で3.2分に撮像時間が短 縮された理由として、体格が大きくなり診断限界 画像の CV が7.98%でも肝臓の輪郭が判断でき たと考える。頭頂部から大腿中央部までの検査時 間を推定するために、ガイドラインで最小投与量 が設定されている体重 3 kg の乳児では、厚生労 働省が行った平成22年度乳幼児身体発育調査. 10 kg 以上の乳幼児については平成27年国民健康・ 栄養調査の年齢階級別の平均体重から平均身長を 求めた^{14,15)}。体重 3 kg の乳児の男女を合わせた 平均身長は 48.2 cm, 10 kg では 78.1 cm, 20 kg では 114.2 cm, 30 kg では 133.4 cm, 40 kg では 151.6 cm, 50 kg では 159.3 cm であった。PET 装置の体軸方向視野が 47 slice (157 mm). オー バーラップが 23 slice (77 mm) のため 1 回のベッ ド移動が 77 mm として収集 bed 数を算出した結 果、頭頂部から大腿中央部までのベッド数は、体 重 3 kg (身長 48.2 cm) で 3 bed, 10 kg (78.1 cm) では 5 bed, 20 kg (114.2 cm) では 8 bed, 30 kg (133.4 cm) では 9 bed, 40 kg (151.6 cm) では 10 bed, 50 kg (159.3 cm) では 11 bed 必要 であった。ベッド数と診断可能限界画像を得るた めの撮像時間から算出した総検査時間は3kg(最 小投与量)で32.4分, 10kg で20分, 20kg で 36.8分,30 kgで37.8分,40 kgで50分,50 kgで35.2分となった。当院における小児検査では体動抑制のために5歳以下(平均体重20 kg以下)の被検者には鎮静剤の投与を行っている。また,6歳以上の被検者であっても長時間の静止状態は困難であるため,著者の経験では検査時間は30分以内が望ましいと考える。

5. 結 論

GE Healthcare 社製 PET/CT 装置 Discovery ST を使用した小児 ¹⁸F-FDG-PET/CT 検査において, 核医学画像を診断する放射線科医の診断的な限界 画像を CV で定量化し, CV と投与量×撮像時間の関係を明らかにした。その結果, 最小投与量の設定が過小であることが示唆された。

また、体動・鎮静リスクを合わせて考慮し、検査時間を30分程度に収めるためには全ての体重域で投与量の増量等の措置を考慮する必要がある。

6. 引用文献

- Czernin J, Allen-Auerbach M, Schelbert HR, et al: Improvements in cancer staging with PET/CT: literature-based evidence as of September 2006. J Nucl Med, 48(1): 78S-88S, 2007
- Uesaka D, Demura Y, Ishizaki T, et al: Evaluation of dual-time-point ¹⁸F-FDG PET for staging in patients with lung cancer. J Nucl Med, 49(10): 1606–1612, 2008
- Uslu L, Donig J, Link M, et al: Value of ¹⁸F-FDG PET and PET/CT for evaluation of pediatric malignancies. J Nucl Med, 56(2): 274-286, 2015
- 4) Zhu HJ, Halkar R, Alavi A, et al: An evaluation of the predictive value of mid-treatment ¹⁸F-FDG-PET/CT scans in pediatric lymphomas and undefined criteria of abnormality in quantitative analysis. Hell J Nucl Med, **16**(3): 169-174, 2013
- 5) 日本アイソトープ協会医学薬学部会核医学イメージング規格化専門委員会、核医学イメージングのための小児への放射性医薬品投与量に関する勧告. Radioisotopes, **37**(11): 627-632, 1988
- 6)日本核医学会 小児核医学検査適正施行検討委員会,小児核医学検査適正施行のコンセンサスガイドライン第1部・第2部・第3部. http://jsnm.sakura.ne. jp/wp_jsnm/wp-content/themes/theme_jsnm/doc/PediatricNuclMedGuideline1-2-3.pdf
- 7) Bettinardi V, Danna M, Savi A, et al: Performance evaluation of the new whole-body PET/CT scanner:

小児 ¹⁸F-FDG-PET/CT 検査における投与放射能量と画質に関する検討(杉林,他)

- Discovery ST. Eur J Nucl Med Mol Imaging, $\mathbf{31}(6)$: 867-881, 2004
- 8) 佐々木敏秋, 世良耕一郎, 石井慶造: PET 性能 評価法を利用した PET 性能施設間比較. Radioisotopes, **60**(11): 473-486, 2011
- 9) 赤松 剛, 西田広之, 藤野 晃:ファントム試験 に基づく PET 装置間の standardized uptake value の標準化—SUVpeak の有用性—. 日放技学誌, 71(9):735-745, 2015
- 10) Mizuta T, Senda M, Okamura T, et al: NEC density and liver ROI S/N ratio for image quality control of whole-body FDG-PET scans: comparison with visual assessment. Mol Imaging Biol, 11(6): 480-486, 2009
- Lartizien C, ComtatC, Kinahan PE, et al: Optimization of injected dose based on noise equivalent count rates for 2-and 3-dimensional whole-body PET. J Nucl Med. 43(9): 1268-1278, 2002
- Fujiwara T, Hidaka K, Sugibayashi K, et al: Investigation of the relation between administered dose

- and image quality for pediatric (99m) Tc-DMSA renal scintigraphy: clinical study applying the JSNM (Japanese Society of Nuclear Medicine) pediatric dosage card: The Japanese Society of Nuclear Medicine Technology (JSNMT), the Optimization of Imaging Technique Committee for Pediatric Nuclear Medicine Studies. Ann Nucl Med, **33**(3): 153–159, 2019
- 13) 細野 真、佐賀恒夫、伊藤健吾、他:FDG PET、 PET/CT 診療ガイドライン2012. 日本核医学会 http://jsnm.sakura.ne.jp/wp_jsnm/wp-content/themes/ theme_jsnm/doc/fdgpet_guideline2012_120912.pdf
- 14) 平成22年度乳幼児身体発育調査報告書:厚生労働 省. https://www.mhlw.go.jp/toukei/list/dl/73-22-01.pdf
- 15) 平成27年国民健康·栄養調査:厚生労働省. https://www.mhlw.go.jp/bunya/kenkou/eiyou/dl/ h27-houkoku.pdf